

文章编号: 1674-5566(2013)03-0370-06

新型纳米复合物 17S-AuNPs 制备及特性研究

胡春玲^{1,2}, 陶妍^{1,2}, 薛斌^{1,2}, 吴继魁^{1,2}

(1. 上海海洋大学 食品学院, 上海 201306; 2. 上海水产品加工及贮藏工程技术研究中心, 上海 201306)

摘要: 利用配体交换反应将巯基修饰的“8-17”脱氧核酶(“8-17” DNAzyme/“8-17” Dz)底物链(17S)通过 Au-S 共价键自组装在纳米金胶(AuNPs)表面, 制得一种新型纳米复合物 17S-AuNPs。利用紫外-可见吸收光谱和动态光散射(dynamic light scattering, DLS)对其进行了表征。紫外-可见吸收光谱表明 17S-AuNPs 在 523 nm 波长处有表面等离子共振峰, 较 AuNPs 红移了 3 nm; 经 DLS 测定的 17S-AuNPs 的流体动力学平均直径为 38.6 nm, 较 AuNPs 的 21.8 nm 增大了 16.8 nm。另外, 利用紫外-可见光谱和目视比色法对 AuNPs 和 17S-AuNPs 的耐盐稳定性分别进行了比较研究, 结果表明: 随着水溶液中 Na⁺ 浓度的逐渐提高, AuNPs 在 600 nm 处的吸收峰不断增强, 溶液颜色逐渐由红变成蓝紫色; 而 17S-AuNPs 在 600 nm 处并未出现吸收峰, 且溶液颜色一直保持为红色; 表明 17S-AuNPs 纳米复合物的稳定性较 AuNPs 显著提高。

研究亮点: 作为新型金属离子特异性识别元件, DNAzyme 具有高效催化功能, 稳定性好, 且易于化学合成和修饰等特点, 受到了分析工作者的高度关注。结合 AuNPs 独特的光学-电子特性, 本文制备了一种新型纳米生物探针—DNAzyme-AuNPs 纳米复合物, 并对其稳定性进行了探讨。

关键词: 脱氧核酶; 纳米金胶; 自组装; 稳定性

中图分类号: O 657.3

文献标志码: A

纳米金胶(AuNPs)具有优良的生物兼容性, 既能与氨基非共价键吸附, 也可以与巯基共价结合, 从而使其能与多种生物识别元件相互结合, 形成纳米复合探针, 用于多种靶目标(如 DNA、蛋白质、重金属离子等)的高灵敏检测。AuNPs 的消光系数极高, 比普通有机发色基团高出 3~5 个数量级^[1]。近年来, 国内外研究者利用这一独特光学特性, 结合生物识别元件(aptamer、DNAzyme、protein 等)的特异性, 构建了比色^[1-5]、荧光^[5-9]及电化学^[10-12]等多种生物传感体系。MIRKIN 等^[2]和 ELGHANIAN 等^[3]将两条不同序列的 DNA 探针与 AuNPs 进行自组装形成 DNA-AuNPs 纳米复合物, 当它们与其完全互补的靶 DNA 序列发生杂交后形成网状聚集体, 导致 AuNPs 溶液由红色变为蓝色, 利用该颜色变化实现了对靶 DNA 的高灵敏检测; WANG 等^[5]利用金属离子诱导的单链 DNA(ssDNA)构象的改变

以及 AuNPs 与 ssDNA、dsDNA 之间静电亲和力的差异, 构建了一种高效检测 Hg²⁺ 的荧光和比色的双传感体系; FEI 等^[10]利用 DNA-AuNPs 复合物修饰的电极对肌红蛋白(myoglobin, Mb)进行直接电化学和电催化研究。

脱氧核酶(deoxyribozyme, DNAzyme/Dz)是一类利用体外分子进化技术(systematic evolution of ligands by exponential enrichment, SELEX)得到^[13-14]具有催化功能的 DNA 分子。它们对 Pb²⁺、Cu²⁺、UO²⁺、Zn²⁺、Hg²⁺ 等二价金属离子具有很好的特异性和灵敏性, 目前已成为构建重金属离子生物传感器的研究热点。BROWN 等^[15]和 LIU 和 LU^[16]以 Dz 为特异性识别元件, 结合比色、荧光等传感平台, 构建了高效、灵敏检测 UO²⁺、Hg²⁺ 等金属离子的生物传感体系; ZHANG 等^[17]利用荧光染料 Picogreen(PG)与“8-17”Dz 构建一种无需标记、简单高效的 Pb²⁺ 荧光生物传

收稿日期: 2012-10-19 修回日期: 2013-02-22

基金项目: 上海市自然科学基金(11ZR1415400); 上海市科学技术委员会工程中心建设项目(11DZ2280300)

作者简介: 胡春玲(1988—), 女, 硕士研究生, 研究方向为生物传感器。E-mail: m100207334@st.shou.edu.cn

通信作者: 吴继魁, E-mail: jkqu@shou.edu.cn

感器;WU 等^[18]通过量子点 (quantum dots, QDs) 标记的 QDs-Dz 实现了 Pb^{2+} 与 Cu^{2+} 离子的多重检测。

利用 AuNPs 高效的荧光淬灭性能以及 Dz 高效的催化功能,构建一种基于 Dz-AuNPs 的新型纳米生物荧光探针,对实现重金属离子的高灵敏度、高选择性检测具有重要意义。本文利用配体交换反应将巯基修饰的“8-17”脱氧核酶(“8-17” DNzyme/“8-17” Dz) 底物链(17S)通过 Au-S 共价键自组装在 AuNPs 表面,制得一种新型纳米复合物 17S-AuNPs,并利用动态光散射 (dynamic light scattering, DLS) 和紫外-可见吸收光谱对其进行了表征。另外,利用紫外-可见光谱对 AuNPs 和 17S-AuNPs 的耐盐稳定性进行了比较研究。

1 实验方法

1.1 仪器与试剂

巯基修饰的“8-17” Dz 底物链(17S)由大连 TaKaRa 生物工程有限公司合成,经 HPLC 纯化,其序列为 5'-ACTCACTATrAGGAAGAGATGT TTTTTTTTT-(CH_2)₆-HS-3'; $\text{HAuCl}_4 \cdot 4\text{H}_2\text{O}$ (99.99%)、Tris、NaCl 购自 Sigma-Aldrich 公司,柠檬酸三钠及其他化学试剂购自上海国药集团化学试剂有限公司,均为分析纯。实验用水为 MilliQ 超纯水(比电阻达 18.2 M Ω ,美国密理博有限公司);恒温孵育器(Eppendorf,德国)。透射式电子显微镜(JEM-2100,日本)用于测定制备的 AuNPs 粒径大小;通过纳米粒度-Zeta 电位分析仪(Zetasizer nano ZS,英国马尔文公司)对 AuNPs 和 17S-AuNPs 进行动态光散射(dynamic light scattering, DLS)表征;AuNPs 和 17S-AuNPs 耐盐稳定性的比较研究在双光束紫外可见分光光度计(TU-1901,北京普析通用仪器公司)上进行。

1.2 13 nm AuNPs 的制备

纳米金胶(AuNPs)的制备参考文献[19],所有玻璃仪器先用去污剂洗涤干净,再用王水浸泡过夜,用大量的去离子水和 MilliQ 水冲洗后,于 121 $^{\circ}\text{C}$ 灭菌 20 min,烘干备用。将 100 mL 1.0 mmol/L 的 HAuCl_4 溶液加热至沸,磁力搅拌下迅速加入 10 mL 38.8 mmol/L 的柠檬酸三钠溶液,在搅拌的状况下继续加热回流 20 min,黄色的液体逐渐转变为黑色,然后变紫,最后成为红色,移去热源继续搅拌冷却至室温,用 0.22 μm 的膜进

行过滤,于棕色瓶中 4 $^{\circ}\text{C}$ 保存备用。用紫外-可见分光光度计对实验制备的 AuNPs 进行扫描,其最大吸收峰在 520 nm 处,依据 AuNPs 的消光系数为 $2.7 \times 10^8 \text{ M}^{-1} \cdot \text{cm}^{-1}$ 可得出 AuNPs 的浓度约为 10 nmol/L。TEM 统计结果显示 AuNPs 平均粒径约为 $(13 \pm 0.1) \text{ nm}$ 。

1.3 17S-AuNPs 纳米复合物的制备

实验所需离心管用 12 mol/L 的 NaOH 室温下浸泡 1 h,然后用大量的去离子水和 MilliQ 水冲洗。将 17S (32 μL , 100 $\mu\text{mol/L}$) 逐滴滴加到 AuNPs 溶胶中(2 200 μL , 6.7 nmol/L) 在恒温孵育器中以 350 r/min 室温反应 16 h,然后再加入 8 μL 的 500 mmol/L Tris-HCl 缓冲液(pH = 8.2) 和 32 μL 的 1 mol/L NaCl,继续以 350 r/min 振荡室温反应 28 h 后,再逐滴滴加 4 μL 的 500 mmol/L Tris-HCl 缓冲液(pH = 8.2) 和 90 μL 的 1 mol/L NaCl,室温下以同样的振荡速率反应 18 h, Tris-HCl 的最终浓度为 5 mmol/L, NaCl 的最终浓度为 100 mmol/L,使 17S 充分组装在 AuNPs 表面。溶液中游离的 17S 通过离心的方式除去(16 110 g, 20 min),然后用 10 mmol/L 的 Tris-HCl (pH = 8.2) 以同样的转速和时间分别洗涤三次,最后将其重新分散于 10 mmol/L Tris-HCl (200 μL , pH = 8.2, 100 mmol/L NaCl), 4 $^{\circ}\text{C}$ 保存备用。

2 结果与讨论

硫醇极易与 Au 基底形成 Au-S 共价键,并放出大量的热,这样可以把部分已经吸附的分子推在一起形成紧密堆积的有序组装: $\text{RS-H} + \text{Au}_n = \text{RS}^-\text{Au}^+\text{Au}_n^0 + 1/2\text{H}_2$ ^[20],基于此机理,在 17S 的 3'端修饰上巯基,使之形成巯基化寡核苷酸探针,从而有效与 AuNPs 相结合,以达到制备 AuNPs 纳米复合物的目的,它们的共价键合过程如图 1 所示。

2.1 AuNPs 及其纳米复合物 17S-AuNPs 的表征

17S-AuNPs 纳米复合物成功制备的先决条件很大程度上取决于所使用 AuNPs 的质量,如 AuNPs 粒径大小不一、表面电荷分布不均等因素都可能导致自组装操作的失败,因而首先对所制备的 AuNPs 进行了表征。如图 2 所示,实验所制备 AuNPs 呈酒红色,电子透射电镜(TEM)结果显示 AuNPs 颗粒粒径大小均一,且都为比较规整的

球形,其平均粒径约为 (13 ± 0.1) nm。以上结果说明实验所制备 AuNPs 质量良好,可以用于 17S-AuNPs 纳米复合物的制备。

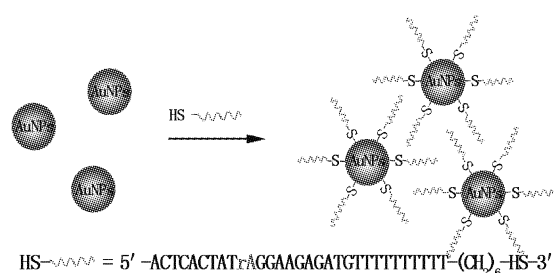


图 1 AuNPs 与 17S 共价键合示意图

Fig. 1 Schematic illustration of Au-S bond formation between AuNPs and 17S

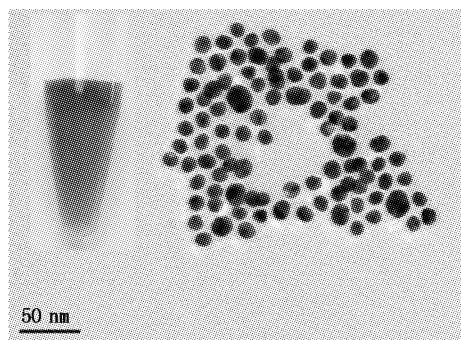


图 2 13 nm 粒径 AuNPs 的 TEM 图

Fig. 2 TEM of 13 nm diameter AuNPs

左上角插图:实验所制备金胶实物图。

利用紫外-可见光谱对 AuNPs 和 17S-AuNPs 在 400 ~ 700 nm 范围内扫描,结果显示 AuNPs 的表面等离子吸收峰在 520 nm 波长处(图 3 虚线); 17S-AuNPs 纳米复合物在 523 nm 处有最强吸收峰(图 3 中实线),较 AuNPs(图 3 虚线)红移了 3 nm,这可能是由于 17S 与 AuNPs 发生了相互结合, AuNPs 粒子平均直径 d 增大,导致 AuNPs 粒子间相邻的能级间隔 δ ^[21] ($\delta = 4E_f/3N \propto 1/V \propto 1/d^3$, E_f 为费米能级, N 为一个纳米粒子的总导电电子数, V 为粒子的体积, d 为粒子的平均粒径)减小而发生的吸收红移。

动态光散射(dynamic light scattering, DLS)是一种用于表征胶体粒径、形状、聚散度以及胶体表面修饰层厚度的重要技术手段^[22]。利用 DLS 对 17S-AuNPs 与 AuNPs 进一步表征,如图 4 所示,二者的动态光散射图谱峰窄且尖,表明它们的粒径分布集中,制备方法精密度好。DLS 的计

算结果显示, AuNPs 的平均粒径为 21.8 nm(图 4 中虚线),比 TEM 统计结果所得的粒径(13nm)要大,这主要是因为 DLS 所测定的是流体动力学半径(hydrodynamic radius)而 TEM 所测定的是更为精确的金胶颗粒硬核; 17S-AuNPs 的 DLS 平均粒径为 38.6 nm(图 4 中实线),比 AuNPs 的粒径增大了 16.8 nm,表明 17S 已成功修饰在 AuNPs 的表面。另外,依据 MIRKIN 等^[23]提出的 DNA-AuNPs 纳米复合物中每个 AuNP 粒子上 DNA 组装密度的测定方法,对 17S-AuNPs 的表面自组装密度进行测定,测得每个 AuNPs 上约组装 100 条左右的 17S。

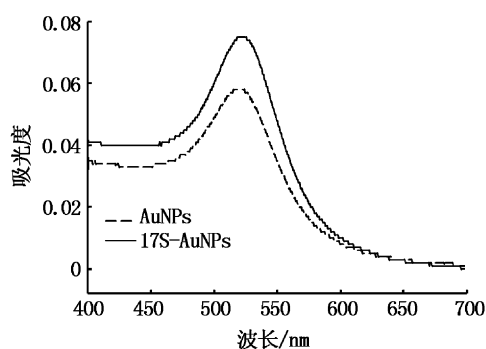


图 3 AuNPs 修饰前后的 UV-Vis 吸收光谱

Fig. 3 Absorption spectrum of AuNPs unmodified/modified with 17S

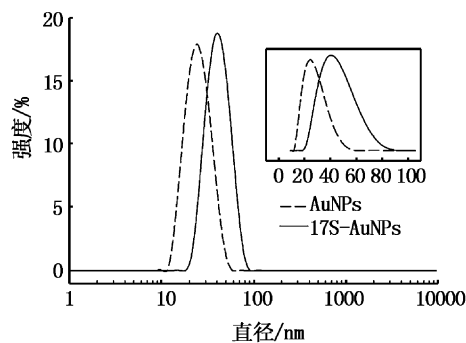


图 4 AuNPs 与 17S-AuNPs 的 DLS 粒径分布图
(插图:放大图)

Fig. 4 Particle size logarithmic distribution diagram of AuNPs and 17S-AuNPs from DLS Measurement.

(Inset: the corresponding enlarged view)

2.2 AuNPs 和 17S-AuNPs 稳定性的比较研究

AuNPs 表面的负电荷离子只能维持其在水介质或低离子强度溶液中的稳定性,而大多数生物材料如 DNA 和蛋白质等,均需在一定 pH 和离子强度下才能发挥其生物特性,因此,考察 17S-

AuNPs 的稳定性,对发挥其生物探针的分析功能具有重要意义。

采用紫外-可见吸收光谱法与目视比色法两种手段,对 17S-AuNPs 和 AuNPs 的稳定性分别进行了考察。在紫外-可见吸收光谱法中,分别向 AuNPs 和 17S-AuNPs 中依次滴加 5 mol/L 的 NaCl 溶液,并同时记录它们的紫外-可见光谱。结果发现,随着水溶液中 Na^+ 浓度不断增大,AuNPs 在 520 nm 波长处的等离子共振峰强度不断降低,同时在 600 ~ 700 nm 波长范围内的吸收峰不断增强(图 5a);而同样实验条件下的 17S-AuNPs 并未出现此现象,吸收峰一直保持在 520 nm 左右(图 5b)。这说明随着溶液盐度的不断增大,AuNPs 发生了聚集,而 17S-AuNPs 却仍旧处于良好的分散状态,即 17S-AuNPs 的稳定性较 AuNPs 得到了很大程度上的提高。

在目视比色法中,实验分为 A 组: AuNPs 和

B 组: 17S-AuNPs,就 Na^+ 浓度与他们的颜色变化进行了对比研究(图 5c)。每组取 6 支离心管,分别加入相同体积的 AuNPs 和 17S-AuNPs,各组依次加入 0 μL 、10 μL 、20 μL 、30 μL 、40 μL 和 50 μL 不同体积 5 mol/L 的 NaCl 溶液,结果显示: A 组中,随着体系中离子强度的逐渐加强,AuNPs 逐渐由红色变成蓝紫色,这表明体系中的 Na^+ 中和了 AuNPs 表面的负电荷,使之发生了聚集,因而红光被吸收而蓝光被反射出来;对于 B 组,6 支离心管中的 17S-AuNPs 均呈现红色,表明此离子强度并未能引起 17S-AuNPs 的聚集,这是因为修饰在 AuNPs 表面的 17S 所含的磷酸基团带有大量的负电荷,增大了 AuNPs 表面的负电荷密度,从而提高了 17S-AuNPs 的耐盐稳定性。实际上当溶液中的 Na^+ 浓度达 300 mmol/L 时,17S-AuNPs 仍保持稳定的红色分散态。

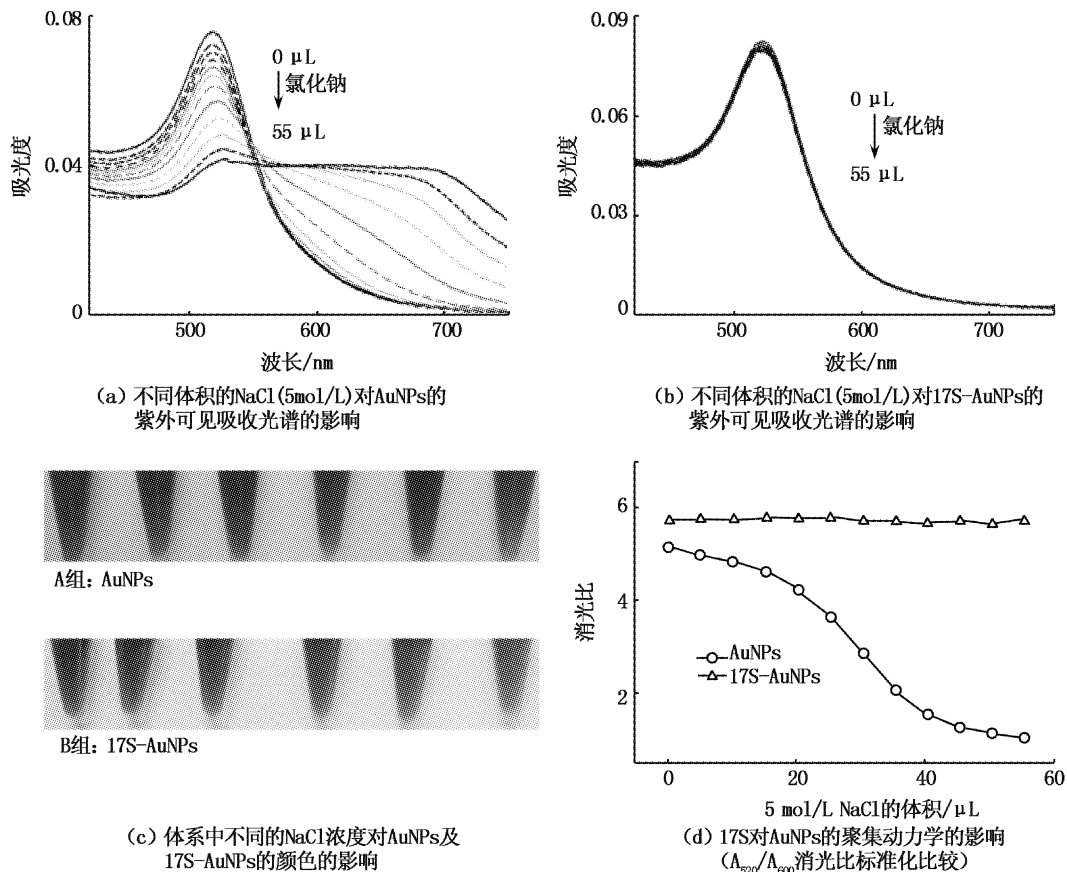


图 5 17S-AuNPs 的稳定性研究

Fig. 5 Stability study of 17S-AuNPs

图 (c) 从左到右每支离心管中加入的 5 mol/L NaCl 的体积依次为 0, 10, 20, 30, 40, 50 μL , 实验测定条件为 10 mmol/L Tris-HCl, pH = 7.2。

为更清晰的表明 17S 表面自组装对 AuNPs 稳定性的影响,实验就 AuNPs 和 17S-AuNPs 的消光比 A_{520}/A_{600} 随着体系中所滴加 NaCl 浓溶液的体积变化趋势进行了比较分析(图 5d)。从图 5d 可以看出,随着体系中离子强度的不断增强,17S-AuNPs 的消光比无明显变化。而 AuNPs 在低离子浓度时变化缓慢,在高离子浓度时有较大趋势的下滑。该结果更直观表明,17S-AuNPs 的耐盐稳定性较 AuNPs 有了显著提高。

3 小结

DNAzyme 具有高效的催化性能与金属特异性,近年来在生物传感、医药及基因治疗等众多高科技领域得到高度的关注。另外,AuNPs 具有优异的光学和电子性能,在电子学、药物诊断、探针、传感以及光学等诸多领域有着广泛的应用。本文基于此二者的优势性能,将 DNAzyme 与 AuNPs 通过 Au-S 共价键组装为一体,制得一种新型纳米复合物 17S-AuNPs,并以 AuNPs 作参照离子,对其进行了表征和稳定性研究。结果表明:(1) UV-Vis 和 DLS 结果均显示 17S-AuNPs 的粒径增大;(2) UV-Vis 分析数据及比色结果显示同等离子强度下,17S-AuNPs 的消光比 A_{520}/A_{600} 基本无变化,且溶液颜色一直保持为红色,而 AuNPs 则呈现较大的下滑,同时,溶液颜色逐渐由红色变为蓝紫色。17S-AuNPs 的耐盐稳定性较 AuNPs 有了很大提高,这拓宽了其在比色、电化学、荧光等诸多分析领域的应用范围,同时若将实验中的 17S 更换成其他的底物或适配子,可应用于 DNA、蛋白质以及小分子等靶物质的检测。

参考文献:

- [1] LIU J W, LU Y. Accelerated color change of gold nanoparticles assembled by DNAzymes for simple and fast colorimetric Pb^{2+} detection [J]. *Journal of the American Chemical Society*, 2004, 126 (39): 12298 - 12305.
- [2] MIRKIN C A, LETSINGER R L, MUCIC R C, et al. A DNA-based method for rationally assembling nanoparticles into macroscopic materials [J]. *Letters to Nature*, 1996, 382 (15): 607 - 609.
- [3] ELGHANIAN R, STORHOFF J J, MUCIC R C, et al. Selective colorimetric detection of polynucleotides based on the distance-dependent optical properties of gold nanoparticles [J]. *Science*, 1997, 277(22): 1078 - 1081.
- [4] WU J K, LI L Y, ZHU D, et al. Colorimetric assay for mercury (II) based on mercury-specific DNA-functionalized gold nanoparticles [J]. *Analytical Chimica Acta*, 2011, 694 (1/2): 115 - 119.
- [5] WANG H, WANG Y X, JIN J Y, et al. Gold nanoparticle-based colorimetric and "turn-on" fluorescent probe for mercury (II) ions in aqueous solution [J]. *Analytical Chemistry*, 2008, 80(23): 9021 - 9028.
- [6] ZHENG D, SEFEROS D S, GILJOHANN D A, et al. Aptamer nano-ares for molecular detection in living cells [J]. *Nano Letters*, 2009, 9(9): 3258 - 3261.
- [7] KIM J H, HAN S H, CHUNG B H, Improving Pb^{2+} detection using DNAzyme-based fluorescence sensors by pairing fluorescence donors with gold nanoparticles [J]. *Biosensors and Bioelectronics*, 2011, 26(5): 2125 - 2129.
- [8] GUO Y M, WANG Z, SHAO H W, et al. Stable fluorescent gold nanoparticles for detection of Cu^{2+} with good sensitivity and selectivity [J]. *Analyst*, 2012, 137(2): 301 - 304.
- [9] SHANG L, YIN J Y, LI J, et al. Gold nanoparticle-based near-infrared fluorescent detection of biological thiols in human plasma, *Biosensors and Bioelectronics* [J]. *Biosensors and Bioelectronics*, 2009, 25(2): 269 - 274.
- [10] FEI W W, ZHANG Y, SUN X M, et al. Direct electrochemistry and electrocatalysis of myoglobin immobilized on DNA-gold nanoparticle clusters composite film [J]. *Journal of Electroanalytical Chemistry*, 2012, 675: 5 - 10.
- [11] AHAMMAD A J S, CHOI Y H, KOH K, et al. Electrochemical detection of cardiac biomarker troponin I at gold nanoparticle-modified ITO electrode by using open circuit potential [J]. *International Journal of Electrochemical Science*, 2011, 6: 1906 - 1916.
- [12] WU S, ZHONG Z Y, WANG D, et al. Gold nanoparticle-labeled detection antibodies for use in an enhanced electrochemical immunoassay of hepatitis B surface antigen in human serum [J]. *Microchimica Acta*, 2009, 166 (3/4): 269 - 275.
- [13] TUERK C, GOLD L. Systematic evolution of ligands by exponential enrichment: RNA ligands to bacteriophage T4 DNA polymerase [J]. *Science*, 1990, 249 (4968): 505 - 510.
- [14] FAMULOK M. Oligonucleotide aptamers that recognize small molecules [J]. *Current Opinion in Structural Biology*, 1999, 9(3): 324 - 329.
- [15] BROWN A K, LIU J W, He Y, et al. Biochemical characterization of a uranyl ion-specific DNAzyme [J]. *A European Journal of Chemical Biology*, 2009, 10(3): 486 - 492.
- [16] LIU J W, LU Y, Rational design of "turn-on" allosteric DNAzyme catalytic beacons for aqueous mercury ions with ultrahigh sensitivity and selectivity [J]. *Angewandte Chemie International Edition*, 2007, 46(40): 7587 - 7590.
- [17] ZHANG L B, HAN BY, LI T, et al. Label-free DNAzyme-based fluorescing molecular switch for sensitive and selective detection of lead ions [J]. *Chemical Communications*,

- 2011, 4(11):3099–3101.
- [18] WU C S, OO M K K, FAN X D. Highly sensitive multiplexed heavy metal detection using quantum-dot-labeled DNazymes [J]. ACS NANO, 2010, 4 (10): 5897–5904.
- [19] LIU J W, LU Y. Preparation of aptamer-linked gold nanoparticle purple aggregates for colorimetric sensing of analytes [J]. Nature Protocols, 2006, 1(1): 246–252.
- [20] 吴迪,吴健. 金-硫键自组装生物分子膜[J]. 化学通报, 2004,2(2): 132–137.
- [21] 张立德,牟季美. 纳米材料科学[M]. 沈阳:辽宁科学技术出版社, 1994.
- [22] RODRIGUEZ-FERNANDEZ J, PEREZ-JUSTE J, LIZ-MARZAN L M, et al. Dynamic light scattering of short Au-Rods with low aspect ratio [J]. The Journal of Physical Chemistry C, 2007, 111(13): 5020–5025.
- [23] DEMERS L M, MIRKIN C A, MUCIC R C, et al. A fluorescence-based method for determining the surface coverage and hybridization effect of thiol-capped oligonucleotides bound to gold thin films and nanoparticles [J]. Analytical Chemistry, 2000, 72(22): 5535–5541.

Preparation, characterization and stability of “8-17” DNzyme substrate-gold nanoparticle conjugates

HU Chun-ling^{1,2}, TAO Yan^{1,2}, XUE Bin^{1,2}, WU Ji-kui^{1,2}

(1. College of Food and Science Technology, Shanghai Ocean University, Shanghai 201306, China; 2. Shanghai Engineering Research Center of Aquatic-Product Processing & Preservation, Shanghai 201306, China)

Abstract: “8-17” DNzyme substrate-gold nanoparticles conjugates (17S-AuNPs) were prepared by ligand exchanged reaction. It was characterized using dynamic light scattering (DLS) and UV-Vis absorption spectrum. The results indicated that the well-dispersed gold nanoparticles showed a surface plasma peak at 520 nm in the UV-Vis absorption spectrum, whereas the peak of 17S-AuNPs conjugates red shifted to wavelength 523 nm. Meanwhile, the hydrodynamic radius of AuNPs and 17S-AuNPs were confirmed to be 21.8 nm and 38.6 nm, respectively, using DLS. Moreover, the stability toward salt-induced aggregation of AuNPs and 17S-AuNPs was further investigated, respectively. As the concentrations of Na⁺ increased gradually, the absorptiom peak of AuNPs increased at 600 nm, following with a color change from red to blue. For 17S-AuNPs a peak at 600 nm is not observed, and the color of the 17S-AuNPs solution keeps red. The aforementioned results indicated that 17S-AuNPs showed a higher stability than that of AuNPs.

Key words: DNzyme; gold nanoparticle; self-assembly; stability